

**МЕТОД УЧЕТА РЕЛАКСАЦИИ В ЗАДАЧЕ ОБ ОБТЕКАНИИ
КОНУСА**

B. H. Архипов, K. C. Хорошко

(Москва)

Сжатие газа при прохождении через ударную волну вызывает отклонение газа от термодинамического равновесия. При этом в газе начинаются внутренние процессы, которые стремятся восстановить равновесие. В тех случаях, когда эти процессы протекают быстро (время релаксации мало), восстановление равновесия (в каждый момент и в каждой точке) успевает практически полностью следовать за ходом изменения объема газа, и отклонением от равновесия можно пренебречь. Если же время релаксации велико, отклонение газа от равновесия нужно учитывать.

Задача об обтекании конуса сверхзвуковым потоком газа без релаксации является автомодельной, так как в задаче отсутствует характерный линейный размер. В случае же, когда нужно учитывать отклонение от равновесия при прохождении газа через головную ударную волну, задача об обтекании конуса становится двумерной, так как появляется характерный линейный размер — величина зоны релаксации.

Ниже описывается способ учета релаксации в задаче о сверхзвуковом обтекании конуса.

1. Постановка задачи. Пусть на неподвижный полубесконечный конус набегает сверхзвуковой поток смеси газов, параллельный оси конуса. Предположим, что головная ударная волна является присоединенной, а за ней везде течение сверхзвуковое. Вязкостью, теплопроводностью и диффузией пренебрегаем. Будем считать, что газ не взаимодействует химически с поверхностью конуса.

Предположим далее, что набегающий на конус поток находится в равновесии и что равновесие нарушается при прохождении газа через ударную волну. Считаем, что сразу же за ударной волной поступательная, вращательная и колебательная энергии принимают свои равновесные значения, а реакции за ударной волной протекают неравновесно. Возбуждение электронов и ионизацию не учитываем.

2. Термодинамические соотношения. Пусть смесь состоит из N газов. Тогда ее термодинамическое состояние описывается $2N + 5$ переменными, из которых только $N + 2$ являются независимыми. Пусть h, p, S суть энталпия, давление и энтропия смеси, а c_i — массовая доля i -й компоненты смеси. Тогда температура T смеси, плотность ρ смеси и химический потенциал μ_i i -й компоненты смеси определяются формулами

$$T = \frac{\partial h}{\partial S}, \quad \frac{1}{\rho} = \frac{\partial h}{\partial p}, \quad \mu_i = \frac{\partial h}{\partial c_i} \quad (i = 1, \dots, N; h = h(p, S, c_i))$$

Основное соотношение термодинамики имеет вид

$$TdS = dh - \frac{1}{\rho} dp - \sum_{i=1}^N \mu_i dc_i \quad (2.1)$$

Будем считать каждую компоненту смеси и всю смесь идеальными газами. Тогда

$$p_i = \frac{R_0}{M_i} \rho_i T, \quad p = \frac{R_0}{M} \rho T, \quad \frac{1}{M} = \sum_{i=1}^N \frac{c_i}{M_i} \quad (2.2)$$

где p_i и ρ_i — парциальные давления и плотность i -й компоненты смеси, M_i и M — молекулярные веса i -й компоненты смеси и всей смеси соответственно, R_0 — универсальная газовая постоянная.

3. Газодинамические уравнения и граничные условия. Уравнения неразрывности i -й компоненты смеси, уравнение неразрывности всей смеси, уравнения количества движения и уравнение энергии запишем в сферических полярных координатах с началом отсчета в вершине конуса. Они имеют вид

$$\begin{aligned} Ru \frac{\partial c_i}{\partial R} + v \frac{\partial c_i}{\partial \theta} &= R \frac{\sigma_i}{\rho} \quad (i = 1 \dots N) \\ Ru \frac{\partial p}{\partial R} + Rp \frac{\partial u}{\partial R} + 2\rho u + v \frac{\partial p}{\partial \theta} + \rho \frac{\partial v}{\partial \theta} + \rho v \operatorname{ctg} \theta &= 0 \\ R\rho u \frac{\partial u}{\partial R} - \rho v^2 + \rho v \frac{\partial u}{\partial \theta} + R \frac{\partial p}{\partial R} &= 0 \\ \rho v \frac{\partial v}{\partial \theta} + \rho uv + R\rho u \frac{\partial v}{\partial R} + \frac{\partial p}{\partial \theta} &= 0 \end{aligned} \quad (3.1)$$

$$Ra_f^2 u \frac{\partial p}{\partial R} + a_f^2 v \frac{\partial p}{\partial \theta} - Ru \frac{\partial p}{\partial R} - v \frac{\partial p}{\partial \theta} = - \frac{Ra_f^2}{\partial h / \partial p} \sum_{i=1}^N \frac{\partial h}{\partial c_i} \frac{\sigma_i}{\rho}$$

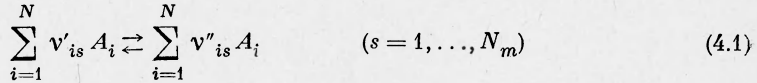
Здесь R — расстояние от вершины конуса; θ — угол, отсчитываемый в меридиональной плоскости от оси конуса; u, v — радиальная и трансверсальная компоненты скорости; σ_i — функция химического источника i -й компоненты, т. е. массовая скорость образования вследствие химических реакций i -й компоненты в единице объема; a_f — «замороженная» скорость звука, определяемая соотношением

$$a_f^2 = \gamma_f(T, c_i) \frac{P}{\rho} \quad (3.2)$$

где $\gamma_f(T, c_i)$ — отношение «замороженных» удельных теплоемкостей.

На поверхности конуса $v = 0$. Присоединенная ударная волна является криволинейной. Ее форма определяется в процессе решения задачи.

4. Функция химического источника. Рассмотрим s -ю химическую реакцию в смеси



где A_i — символ i -й компоненты смеси, v'_{is} и v''_{is} — стехиометрические коэффициенты веществ, вступающих в реакцию, и продуктов реакции; для прямой (\rightarrow) и обратной (\leftarrow) реакций константы скоростей обозначим через K_{fs} и K_{rs} .

Скорость протекания s -й реакции выражается следующим образом:

$$L_s = K_{fs} \prod_{i=1}^N [A_i]^{v'_{is}} - K_{rs} \prod_{i=1}^N [A_i]^{v''_{is}}, \quad [A_i] \frac{\rho c_i}{M_i} \quad (4.2)$$

где $[A_i]$ — молярная концентрация i -й компоненты смеси.

Массовая скорость образования i -й компоненты в процессе s -й реакции тогда будет равна

$$\sigma_{is} = M_i (v''_{is} - v'_{is}) L_s \quad (4.3)$$

а суммарная массовая скорость образования i -й компоненты в ходе всех N_m реакций

$$\sigma_i = \sigma_{i1} + \dots + \sigma_{iN_m} \quad (4.4)$$

5. Характеристики. В меридиональной плоскости имеются два семейства характеристик, уравнения которых в цилиндрических координатах r, z суть

$$\left(\frac{dr}{dz} \right)_{\pm} = \operatorname{tg}(\beta \pm \alpha) \quad (5.1)$$

Вдоль характеристик выполняются условия

$$\mp d\beta_{\pm} = \frac{\operatorname{ctg} \alpha}{\rho V^2} dp_{\pm} + \frac{a_f \sin \beta}{V r \cos(\beta \pm \alpha)} dz_{\pm} - \frac{a_f}{\rho V^2 (\partial h / \partial \rho)} \sum_{i=1}^N \frac{\partial h}{\partial c_i} \frac{\sigma_i}{\rho} \frac{dz_{\pm}}{\cos(\beta \pm \alpha)} \quad (5.2)$$

Здесь V — модуль скорости, β — угол между осью конуса и вектором скорости, $\alpha = \operatorname{arc sin} \alpha_f / V$. Индекс плюс относится к характеристикам первого семейства, а индекс минус — к характеристикам второго семейства. Ось z совпадает с осью конуса, ось r ей перпендикулярна, начало отсчета совпадает с вершиной конуса.

Линии тока также обладают некоторыми характеристическими свойствами. Вдоль них выполняются соотношения

$$dc_i = \frac{\sigma_i}{\rho V} \frac{dz}{\cos \beta}, \quad VdV + \frac{1}{\rho} dp = 0, \quad TdS = - \sum_{i=1}^N \frac{\mu_i \sigma_i}{\rho V} \frac{dz}{\cos \beta} \quad (5.3)$$

6. Решение для малых R . Переходя в уравнениях (3.1) к пределу при $R \rightarrow 0$, получим систему уравнений, содержащих только производные по θ . Этой системе не удовлетворяют постоянные значения параметров, откуда следует, что параметры потока в вершине конуса суть функции только угла θ .

Система имеет вид

$$\begin{aligned} v_0 \frac{dc_{i0}}{d\theta} &= 0, & 2\rho_0 u_0 + v_0 \frac{dp_0}{d\theta} + \rho_0 \frac{dv_0}{d\theta} + \rho_0 v_0 \operatorname{ctg} \theta &= 0 \\ -\rho_0 v_0^2 + \rho_0 v_0 \frac{du_0}{d\theta} &= 0, & \rho_0 v_0 \frac{dv_0}{d\theta} + \rho_0 u_0 v_0 + \frac{dp_0}{d\theta} &= 0, & a_f v_0^2 \frac{dp_0}{d\theta} - v_0 \frac{dp_0}{d\theta} &= 0 \end{aligned} \quad (6.1)$$

Индекс 0 означает, что параметры вычисляются при $R = 0$.

Первое уравнение системы (6.1) дает $c_{i0} = \text{const}$, т. е. получаются параметры «замороженного» течения. Остальные уравнения системы можно проинтегрировать способом, описанным в работе [1], подбирая угол θ_0 наклона скачка в точке $R = 0$ так, чтобы на поверхности конуса выполнялось условие непротекания $v_0 = 0$.

В окрестности точки $R = 0$ параметры потока можно определить в виде рядов, зная производные $(\partial f / \partial R)_0$, $(\partial^2 f / \partial R^2)_0$ и т. д. в точке $R = 0$ (f — любой из параметров c_i , u , v , ρ , p).

Уравнения для определения производных $(\partial f / \partial R)_0 = f_1(\theta)$ получим, продифференцировав систему (3.1) по R и перейдя к пределу при $R \rightarrow 0$. Получим

$$\begin{aligned} v_0 \frac{dc_{i1}}{d\theta} &= \frac{\sigma_{i0}}{\rho_0} - u_0 c_{i1} \quad (i = 1, \dots, N) \\ v_0 \frac{d\rho_1}{d\theta} + p_0 \frac{dv_1}{d\theta} &= F_1 \\ \rho_0 v_0 \frac{du_1}{d\theta} &= F_2, \quad \rho_0 v_0 \frac{dv_1}{d\theta} + \frac{dp_1}{d\theta} = F_3 \\ a_{f0}^2 v_0 \frac{d\rho_1}{d\theta} - v_0 \frac{dp_1}{d\theta} &= F_4 \end{aligned} \quad (6.2)$$

Правые части этих уравнений F_1 , F_2 , F_3 , F_4 — функции f_0 , f_1 , $df_0/d\theta$, θ . Система (6.2) решается численным интегрированием.

В первом приближении уравнение ударной волны в окрестности вершины конуса можно задать в виде

$$R = a(\theta_0 - \theta) \quad (6.3)$$

Если β — угол наклона криволинейной ударной волны (6.3) к оси конуса в меридиональной плоскости, то в вершине конуса имеет место зависимость

$$\left(\frac{\partial}{\partial R} \right)_0 = \frac{1}{a} \left[\left(\frac{\partial}{\partial \theta} \right)_0 - 2 \left(\frac{d}{d\beta} \right)_0 \right] \quad (6.4)$$

которая дает граничные условия для системы (6.2) при $\theta = \theta_0$. Производные в квадратных скобках известны. Коэффициент a подбирается так, чтобы на поверхности конуса выполнялось условие непротекания $v_1 = 0$.

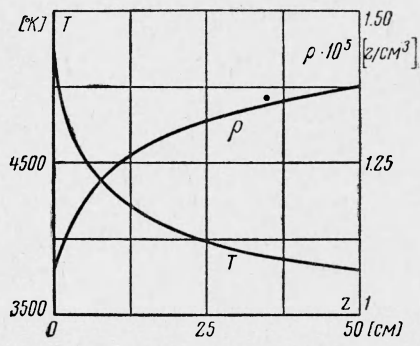
Второе приближение можно найти, определив вторые производные из уравнений, полученных двухкратным дифференцированием системы (3.1) по R и последующим переходом к пределу при $R \rightarrow 0$. При этом ударная волна задается полиномом второй степени с двумя коэффициентами a и b , которые нужно подобрать так, чтобы выполнялись условия непротекания на поверхности конуса ($v_1 = 0$, $v_2 = 0$). Аналогично определяются более высокие приближения.

7. Численные результаты. Расчет был проведен для случая обтекания конуса с углом полураствора 30° потоком воздуха, причем число Маха набегающего потока $M_{f\infty} = 16.7$ ($M_f = V/af$), температура набегающего потока $T_\infty = 300^\circ\text{K}$, плотность $\rho_\infty = 1.808 \cdot 10^{-6} \text{ г}/\text{см}^3$, давление $p_\infty = 1.564 \cdot 10^8 \text{ г}/\text{см} \cdot \text{сек}^2$. Воздух считался смесью, состоящей из 78.847% молекуллярного азота N_2 и 21.153% молекуллярного кислорода O_2 . Предполагалось, что за ударной волной происходят реакции, рассмотренные Даффом и Дэвидсоном [2]. Была учтена и колебательная релаксация по схеме, предложенной Даффом и Дэвидсоном. Константы скоростей были заимствованы также из работы [2].

Так как учитывалась колебательная релаксация, считалось, что в присоединенной ударной волне равновесные значения принимают только поступательная и врачающаяся энергии. В этом случае $\gamma_f = 1.4$.

Для каждой из рассмотренных реакций известна лишь одна из констант скоростей K_{fs} , K_{rs} . Вторая вычислялась, как обычно [3], из условия равновесия $K_{fs}/K_{rs} = K_{es}$, где K_{es} — константа равновесия, являющаяся известной функцией температуры.

Параметры потока в вершине конуса определялись решением системы (6.1). Расчет методом характеристик от вершины конуса невозможен из-за наличия в условиях (5.2) слагаемого, пропорционального $1/r$. Поэтому для определения концентраций, компонент скоростей, плотности и давления в окрестности вершины в первом приближении использовалась система (6.2). Начиная от дуги окружности, расположенной на расстоянии $R = 0.02 \text{ см}$ от вершины конуса, расчет проводился методом характеристик. Условия (5.2) давали возможность определить угол β наклона скорости и давление p в точках пересечения характеристик разных семейств. Условия вдоль линий тока (5.3) позволяли рассчитать в этих точках концентрации c_i и модуль скорости V . Затем



из условия сохранения полной энталпии определялась температура T , после чего из уравнения состояния — плотность ρ . Параметры на ударной волне и наклон ее находились совместным решением условий на ударной волне и на характеристике, пересекающей ударную волну.

Проведенные расчеты показывают (фигура), что на отрезке $0 \leq z \leq 50 \text{ см}$ температура на поверхности конуса в рассматриваемом случае уменьшается от 5240°K до 3800°K , а плотность увеличивается от $0.1 \cdot 10^{-4} \text{ г / см}^3$ до $0.14 \cdot 10^{-4} \text{ г / см}^3$. Равновесные (без учета релаксации) значения температуры 3200°K и плотности $0.17 \cdot 10^{-4} \text{ г / см}^3$.

Описанный метод, по-видимому, неприменим в области малых изменений параметров, где параметры мало отличаются от своих равновесных значений.

Авторы благодарят Т. Я. Гришаненко, которая составила программу и провела расчеты на электронно-счетной машине, и Л. И. Северинова за полезное обсуждение работы.

Поступила 9 VIII 1962

ЛИТЕРАТУРА

- Современное состояние аэродинамики больших скоростей. Под ред. Л. Хоупарта, т. I, М., ИЛ, 1955.
- D u f f R. E., D a v i d s o n N. Calculation of Reaction Profiles Behind Steady Shock Waves; II, The Dissociation of Air. Journ. of the Chemical Physics, 1959, vol. 31, 4, p. 1018—1027. (Русск. пер.: Дафф и Дэвидсон. Расчет неравновесной диссоциации воздуха за стационарными ударными волнами. Сб. пер. Вопросы ракетной техники, 1960, № 5 (65), стр. 40—57.)
- L i c k W. Inviscid Flow of a Reacting Mixture of Gases around a Blunt Body. Journal of Fluid Mechanics, 1960, vol. 7, 1, p. 128—144. (Русск. пер.: Лик. Невязкий поток реагирующей смеси около тупого тела. Сб. статей «Газодинамика и теплобмен при наличии химических реакций». М., ИЛ, 1962.)

ПЛОСКИЕ ВЗРЫВНЫЕ ВОЛНЫ В ГРУНТАХ

Г. М. Ляхов, З. В. Нарожная

(Москва)

Излагаются результаты экспериментальных исследований плоских волн в грунтах. Проводится сопоставление параметров плоских и сферических волн, соответствующих одним и тем же грунтам. Определена зависимость параметров волн в неводонасыщенном грунте от содержания воды в порах.

1. Условия проведения опытов. Характеристики грунтов. Параметры волны в грунте, создаваемой при взрыве плоского заряда, в соответствии с принципом подобия, зависят от отношения R° плотности заряда C (т. е. веса заряда в кг , приходящегося на 1 м^2 его площади) к расстоянию R в м от плоскости, в которой расположен заряд

$$R^\circ = \frac{R \cdot m^3}{C \cdot \kappa^2} \quad (1.1)$$

В опытах волны создавались при помощи зарядов, укладываемых на поверхности грунта. Сверху заряды покрывались слоем грунтовой обсыпки. Как показывают результаты опытов, возрастание толщины h обсыпки приводит к увеличению интенсивности волн в грунте. Однако это возрастание происходит лишь в некотором интервале значений h . Увеличение h свыше h_k не влияет на параметры волны. Значение h_k , полученное в опытах, составляет

$$h_k = \kappa C \quad (1.2)$$

В исследованных песчаных грунтах коэффициент $\kappa = 3 \div 4 \text{ м}^3/\text{кг}$. Опыты проводились при $h > h_k$.

При взрыве плоского заряда ограниченных размеров (площади) от слоев грунта, над которыми заряд отсутствует, распространяется боковая волна разрежения, приводящая к ослаблению плоской волны. При достаточно большой площади заряда влияние волны разрежения не оказывается в некоторой центральной области под зарядом, так как давление в плоской волне здесь уменьшается до начального значения до прихода фронта боковой волны разрежения. Приводимые результаты опытов относятся к этой центральной области.

Опыты проводились в песчаных неводонасыщенных грунтах нарушенной структуры (насыпных песках) двух районов.

Пески обоих районов имели объемный вес скелета γ от 1.50 до 1.55 г/см^3